## Доклады Академии наук СССР 1973. Том 209, № 3

УДК 541.64+678.762.2

ФИЗИЧЕСКАЯ ХИМИЯ

Н. И. ПАКУРО, Е. В. ЗАБОЛОТСКАЯ, академик Б. А. ДОЛГОПЛОСК

## ИССЛЕДОВАНИЕ ПРОЦЕССА ПОЛИМЕРИЗАЦИИ БУТАДИЕНА ПОД ДЕЙСТВИЕМ КАТАЛИТИЧЕСКОЙ СИСТЕМЫ $(\pi\text{-}C_3\text{H}_5\text{Nicl})_2-\text{Ticl}_4$ ПРИ ИЗБЫТКЕ $\text{Ticl}_4$

Ранее было показано, что увеличение концентрации  $TiCl_4$  при полимеризации бутадиена под действием каталитической системы  $(\pi-C_2H_5NiCl)_2-TiCl_4$  вызывает значительное возрастание скорости полимеризации. При этом образуются низкомолекулярные полимеры с содержанием цис-звеньев в цепи около  $85\,\%$  \*.

Настоящая работа посвящена изучению кинетических закономерностей процесса полимеризации бутадиена в присутствии 10-100-кратных избытков  $TiCl_4$  по отношению к  $(\pi-C_3H_5NiCl)_2$ . Опыты проводили в дилатометрах при 6° в растворе гептана. В связи с тем, что при одновременном смешении  $\pi$ -аллильного комплекса, избытка  $TiCl_4$  и мономера паблюдается индукционный период, для точного измерения начальных скоростей процесса опыты ставили следующим образом: сначала проводили процесс нолимеризации бутадиена при соотношении  $[TiCl_4]/[(\pi-C_3H_5NiCl)_2]$ , близком к единице (компоненты катализатора смешивали в присутствии мономера). По окончании индукционного периода при глубине полимеризации  $\sim 10\%$  в дилатометре разбивали тонкостенный шарик с избытком  $TiCl_4$ . В этот момент при сохранении гомогенности системы наблюдалось изменение окраски раствора и резко, без индукционного периода, возрастала скорость полимеризации. Это явление иллюстрируется на рис. 1.

Были найдены зависимости скоростей полимеризации после добавления избытка TiCl<sub>4</sub> от концентраций компонентов системы. Как показано на рис. 2, 3, начальные скорости этого процесса липейно зависят от концентраций избыточного TiCl<sub>4</sub>, ( $\pi$ -C<sub>3</sub>H<sub>5</sub>NiCl)<sub>2</sub> и мономера:

$$V_0 = kC[\mathbf{M}][\mathbf{T}i], \tag{1}$$

где  $V_0$  — начальная скорость полимеризации после введения избытка TiCl<sub>4</sub>, C — концентрация ( $\pi$ -C<sub>3</sub>H<sub>5</sub>NiCl)<sub>2</sub>, [M] — концентрация мономера в момент побавления избытка TiCl<sub>4</sub>, [Ti] — концентрация избыточного TiCl<sub>4</sub>. Константа k оказалась равной  $178 \pm 4 \, \pi^2/\text{мол}^2 \cdot \text{мин}$ .

В работах  $(^1,^2)$  было показано, что в отсутствие избытка  $TiCl_4$  (при  $ITiCl_4$ ] / [  $(\pi-C_3H_5NiCl)_2$ ] < 3 в активном центре па один атом титана приходится два атома никеля ( $Ni_2Ti$ ). Резкое увеличение скорости полимеризации при добавлении избытка  $TiCl_4$  к этим активным центрам указывает на происходящее между ними взаимодействие, которое приводит к образованию более активных центров полимеризации. Это взаимодействие может осуществляться двумя путями: путем присоединения  $TiCl_4$  к  $Ni_2Ti$ 

$$Ni_2Ti + nTi \rightleftharpoons Ni_2Ti_{m+1}$$

или путем распада димерного комплекса на мономерные

$$Ni_2Ti + n Ti \rightleftharpoons NiTi_r + NiTi_{n+1-r}$$
.

<sup>\*</sup> Подробнее об этом будет сообщено в журнале «Высокомолек, соед.», серия Б.

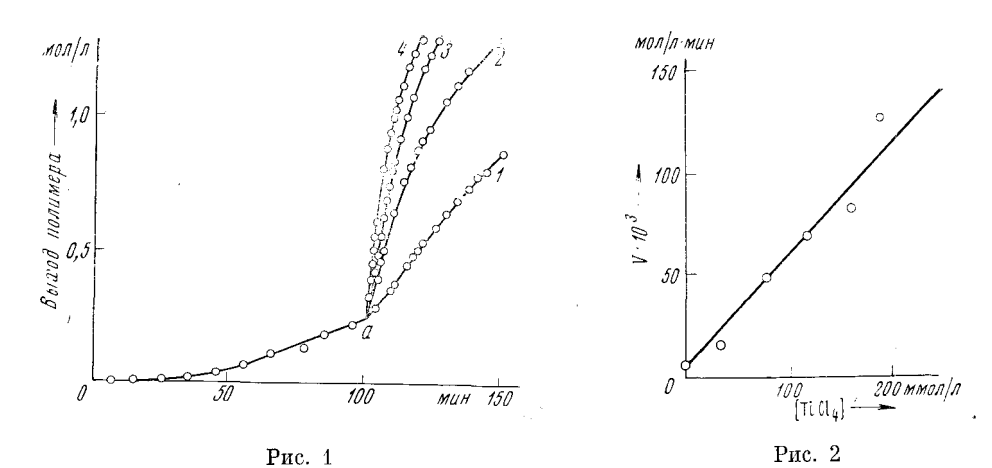


Рис. 1. Зависимость выхода полимера от времени при различных копцентрациях избыточного TiCl<sub>4</sub>. В точке a вводили избыток TiCl<sub>4</sub>.  $[(\pi\text{-C}_3H_5\text{NiCl})_2]$  1,5 ммол/ $\pi$ ; концентрация бутадиена в момент введения избытка TiCl<sub>4</sub> 2,3 мол/ $\pi$ ;  $[\text{TiCl}_4]$  до введения его избытка — 1,8—2,2 ммол/ $\pi$ ; концентрация избыточного TiCl<sub>4</sub> (ммол/ $\pi$ ): 29,1 (I), 77,0 (I), 116 (I), 188 (I)

Рис. 2. Зависимость начальной скорости полимеризации от концентрации введенного  ${
m TiCl_4}.$  Условия те же, что на рис. 1

Линейная зависимость скорости полимеризации от концентрации пзбыточного  $TiCl_4$  дает основание полагать, что концентрация новых активных центров полимеризации мала по сравнению с общим количеством взятого ( $\pi$ - $C_3$ H<sub>5</sub>NiCl)<sub>2</sub>. В противном случае мы имели бы кривую с насыщением. С учетом этого выражение для скорости полимеризации, пропорциональной концентрации активных центров, выразится следующим образом: для первого случая

$$V_0 = k[\operatorname{Ni}_2\operatorname{Ti}][\operatorname{Ti}]^n[M] = k'C[\operatorname{Ti}]^n[M],$$

для второго случая

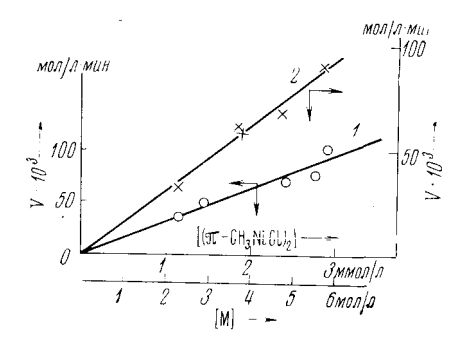
$$V_0 = k[\operatorname{Ni}_2\operatorname{Ti}]^{1/2}[\operatorname{Ti}]^{n/2}[\operatorname{M}] = k'\sqrt{C}\sqrt{[\operatorname{Ti}]^n}[\operatorname{M}].$$

Опытным данным соответствует первый вариант при n=1, т. е. можно полагать, что при высоких концентрациях  $TiCl_4$  происходит равновесное присоединение молекул  $[TiCl_4]$  к ранее образовавшимся активным центрам полимеризации

Мы не рассматриваем менее вероятные схемы, предполагающие взаимодействие многих частиц; однако найденные кинетические закономерности согласуются с любой схемой процесса, где в результате реакции обрачется в два раза меньше молскул, чем вступило в реакцию, а коэффициенты в левой части уравнения равны между собой, например:

$$\begin{split} 2Ni_2Ti + 2Ti &\rightleftarrows Ni_3Ti_3 + NiTi, \\ 3Ni_2Ti + 3Ti &\rightleftarrows Ni_3Ti_3 + Ni_2Ti_2 + NiTi. \end{split}$$

Следует отметить, что и в случае смешения компонентов катализатора с мопомером и избытком TiCl<sub>4</sub> перед началом полимеризации, по-видимому, происходит образование тех же высокоактивных центров полимеризации. Это предположение вытекает из результатов опытов по полимеризации бутадиена при постоянном соотношении компонентов катализатора.



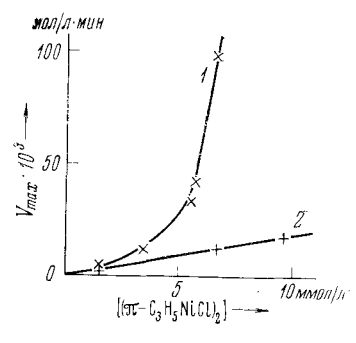


Рис. 3

Рис. 4

Рис. 3. Зависимость начальной скорости полимеризации от концентрации  $(\pi\text{-}\mathrm{C}_3\mathrm{H}_5\mathrm{NiCl})_2$  (1) и бутадиена (2). Концентрация бутадиена к моменту введения избытка  $\mathrm{TiCl}_4$  2,3 мол/л (1); концентрация избыточного  $\mathrm{TiCl}_4$  75 (1), 73 (2); [ $(\pi\text{-}\mathrm{C}_3\mathrm{H}_5\mathrm{NiCl})_2$ ] 1,15 ммол/л (2)

Рис. 4. Зависимость максимальной скорости полимеризации от копцептрации  $(\pi-C_3H_5\mathrm{NiCl})_2$  при постоянном соотношении компонентов катализатора. Концентрация бутадиена 2,5 мол/л;  $[\mathrm{TiCl}_4]$  /  $[(\pi-C_3H_5\mathrm{NiCl})_2]$  4,0 (1); 1,0 (2)

При одновременном увеличении концентрации ( $\pi$ -C<sub>3</sub>H<sub>5</sub>NiCl)<sub>2</sub> и TiCl<sub>4</sub> при их постоянном соотношении скорость полимеризации согласно уравнению (1) должна увеличиваться пропорционально концентрации каждого из компонентов, т. е. пропорционально квадрату концентрации одного из компонентов катализатора. Как видно из рис. 4, на котором представлены зависимости скоростей полимеризации от концентрации ( $\pi$ -C<sub>3</sub>H<sub>5</sub>NiCl)<sub>2</sub> при постоянных соотношениям Ti / Ni, при [TiCl<sub>4</sub>] / [( $\pi$ -C<sub>3</sub>H<sub>5</sub>NiCl)<sub>2</sub>] = 4 наблюдается значительное отклонение от линейной зависимости по катализатору, в то время как в отсутствие избытка TiCl<sub>4</sub> (при соотношении [TiCl<sub>4</sub>] / [( $\pi$ -C<sub>3</sub>H<sub>5</sub>NiCl)<sub>2</sub>] = 4) сохраняется линейная зависимость. Точное определение порядка реакции в условиях избытка TiCl<sub>4</sub> при одновременном смешении компонентов катализатора и мономера невозможно вследствие наличия индукционного периода, длительность которого зависит от концентраций компонентов системы.

Изменение природы активного центра в присутствии значительного избытка TiCl<sub>4</sub> проявляется также в том, что в этих условиях резко снижается молекулярный вес полимеров. Среднечисловой молекулярный вес по-

Таблица 1

Таблица 2

Молекулярные веса полимеров, полученных при различной начальной концентрации мономера

№ опы- та	[Мо], мол/л	$\overline{M}_n$
1	2,26	2950
2	4,45	3000
3	6,32	3050

Присоединение малеинового ангидрида	(MA)	
к полибутадиепу		

Навеска, г		Количество	$\overline{M}_{m}$ (coupers.	
полимер	MA	присоед. МА, % от взятого	M <sub>n</sub> (сопряж. связи)	$\overline{M}_n(\text{ИТЭК})$
$0,8565 \\ 0,4054$	0,0957 0,0397	39 40	2700 2600	3100 3000

лимеров, полученных при соотношении  $[TiCl_4]/[(\pi-C_3H_5NiCl)_2] > 30$ , составляет около 3000 и, как показано в табл. 1, мало зависит от концентрации мономера, что, вероятнее всего, объясняется протеканием реакции передачи цепи через мономер \*.

<sup>\*</sup> Средпечисловые молекулярные веса  $\overline{M}_n$  определены методом ИТЭК на приборе фирмы Хитачи А. Г. Давтяном, за что авторы выражают ему большую признательность.

Реакция передачи цепи на мономер должна приводить к образованию на концах полимерных цепей сопряженных двойных связей

Количество сопряженных двойных связей в полимере было определено по реакции с малеиновым ангидридом согласно методике (3). Как видпо из данных табл. 2, значения молекулярных весов, рассчитанные по найденной концентрации двойных связей и полученные методом ИТЭК, близки между собой, т. е. в среднем каждая полимерная цепь содержит одпу сопряженную дненовую группировку.

Таким образом, исследование кипетики процесса полимеризации бутадиена под действием каталитической системы ( $\pi$ -C<sub>3</sub>H<sub>5</sub>NiCl)<sub>2</sub> — TiCl<sub>4</sub> показало, что введение избыточного количества TiCl<sub>4</sub> в полимеризующуюся систему с эквимолекулярным соотношением компонентов катализатора приводит к образованию высокоактивных центров полимеризации путем присоединения TiCl<sub>4</sub> к ранее образовавшимся активным центрам.

Физико-химический институт им. Л. Я. Карпова Москва Поступило 21 IX 1972

## питированная литература

<sup>1</sup> Н. И. Пакуро, Е. В. Заболотская, С. С. Медведев, Высокомолек. соед., **Б10**, № 1, 3 (1968). <sup>2</sup> Н. И. Пакуро, Е. В. Заболотская, Высокомолек. соед., **Б15**, № 3 (1973). <sup>3</sup> А. И. Гуляева, В. Ф. Поликарнова, З. К. Ремиз, Анализ продуктов производства дивинила из этилового спирта по способу С. В. Лебедева, 1950, стр. 192.